

花園高等学校 正員 中山 利久

京都市衛生公害研究所 正員 筒井 剛毅

1. はじめに: 除去率が高く、設置面積が少なくて済むなどの利便を有し、今日広く利用されてゐる循環汙床法の浄化槽の中で最も役割は大きい。しかし、この方法の浄化機構に関する研究は不十分であり、古くから利用された活性汚泥法、回転円板法の浄化機構が Michaelis-Menten の式を適用した方式でそのまゝの形で適用されてゐる。筆者は塩化銅ニューズ、ラッシュリングなどを充て材とした場合に顕著に現れるこの工程の沈殿効果の特性に着目して研究を進めてきた。今回は、基質として溶解性の成分だけを含有する場合と、溶解性成分と浮遊性の成分を含有する場合の廃水処理における基質除去動力学の導出について検討を行つたので発表する。

2. 沈殿効果を考慮した基質除去動力学の導出. 2-1. 基質が溶解性の場合;

実験装置のフローシートを Fig. 1 に示す。原水タンク 1 から基質が \$l\_i\$、流量 \$Q\$ でマイクロチューブポンプ (M.P.) 2 によってタンク容積 \$V\$ (l) の汙床 5 に送られ、濃度 \$S\$ の活性汚泥によって接触酸化を受け、処理水の基質濃度 \$l\$、活性汚泥濃度 \$S\_e\$、流量 \$Q\$ で排出される。ここで汙床について完全混合モデルを考へると汙床内の基質濃度は \$l\$ である。また、この場合、流入する廃水中の汚泥濃度は 0 としておき、バッチ式と連続式の物質収支について次の 5 つの式が成立する。ここで、

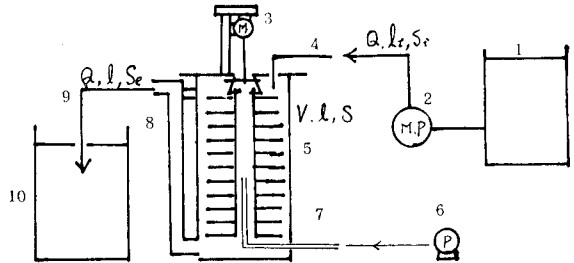


Fig.-1. Schematic diagram of the submerged circulation pipe with parallel multi-plates system. 1: storage tank, 2: micro-tube pump, 3: motor for rotating the pipe with multi-plates 4, 7, 9: tube for conveying, 5: submerged circulation pipe with parallel multi-plates system, 6: air pump, 8: outlet, 10: effluent tank. \$Q\$: flow rate (ml/min.), \$l\_i\$: COD (ppm) in inlet, \$V\$: volume of filter bed tank, \$l\$: COD (ppm) in outlet, \$S\$: MLSS (ppm) in filter bed tank \$S\_i\$: MLSS (ppm) in inlet

$$- \left( \frac{dl}{dt} \right)_{bio.} = \frac{K \cdot l \cdot S}{K_s + l} \dots (1) \quad \left( \frac{dS}{dt} \right)_{bio.} = -Y \left( \frac{dl}{dt} \right)_{bio.} - b \cdot S \dots (2) \quad - \left( \frac{dS_e}{dt} \right)_{sed.} = K_c \cdot S_e \dots (3)$$

$$V \cdot \left( \frac{dl}{dt} \right)_T = V \cdot \left( \frac{dl}{dt} \right)_{bio.} + Q \cdot l_i - Q \cdot l \dots (4) \quad V \cdot \left( \frac{dS}{dt} \right)_T = V \cdot \left( \frac{dS}{dt} \right)_{bio.} - Q \cdot S_e - V \cdot \left( \frac{dS_e}{dt} \right)_{sed.} \dots (5)$$

\$/ dt)\_{bio.}\$: バッチ式における生物反応による汙床タンク内の基質濃度の変化速度, \$K\$: 最大基質除去速度 (1/日), \$K\_s\$: 飽和恒数 (mg/l), \$Y\$: 収率 (-), \$b\$: 自己酸化係数 (1/日), \$K\_c\$: 沈殿効果による基質除去定数 (1/日), \$(dS/dt)\_{bio.}\$: バッチ式における汙床タンク内の生物反応による活性汚泥の変化速度, \$(dS\_e/dt)\_{sed.}\$: 沈殿効果によって汙床に捕集されるタンク内廃水中の活性汚泥の変化速度, \$(dl/dt)\_T\$: 連続式における汙床タンク内の基質濃度の変化速度, \$(dS/dt)\_T\$: 連続式における汙床内の活性汚泥の変化速度, である。(3) は循環式浸漬汙床法で廃水処理をするとき、廃水中の浮遊物質が循環する過程において汙床上に沈殿除去される時の濃度についての 1 次式でその妥当性は先に報告した。そこで (5) 式全体を \$S\$ で割つた式の左辺について活性汚泥法における \$S\$ の増殖速度に相当する次の (6) 式が成立すると仮定し、\$t=0\$ で \$S=S\_0\$, \$t=t\$ で \$S=S\$ の条件で解くと (7) 式を得る。(2), (3), (4), (5), (

$$\frac{1}{S} \left( \frac{dS}{dt} \right)_T = \mu \dots (6) \quad S = S_0 \cdot e^{\mu t} \dots (7) \quad \left( \frac{dl}{dt} \right)_T + \frac{1}{t} l = \frac{1}{Y} \{ K_c S_e - (\mu + b) \cdot S_0 \cdot e^{\mu t} \} + \frac{l_i}{t} \dots (8)$$

6), (7) 式から 1-階線型微分方程式 (8) を得る。この (8) 式を \$t=0\$, \$l=l\_0\$ の条件で解くと次の式

$$(K_c \cdot S_e - \frac{S_e}{\tau}) \cdot \frac{\mu \cdot \tau + 1}{\tau \cdot S_0 \cdot \rho} + \mu = Y \cdot (1 - \lambda_0 \cdot P - \lambda_1 \cdot Z) \cdot \frac{\mu \tau + 1}{\tau \cdot S_0 \cdot \rho} - b \dots (9)$$

(9) を得る。先んじ、 $P, Z, \tau$  は次の式で与えられる。 $P = e^{-\frac{t}{\tau}}, Z = 1 - e^{-\frac{t}{\tau}}, \tau = e^{-\frac{t}{\tau}} - e^{-\mu t} \dots (10)$

2-2. 廃水が基質として溶解性のものと浮遊性の物質を含む場合:

2次, 3次処理を行う廃水中には BOD, COD 等の成分として測定される基質としてコロイドに近い浮遊物質が含まれている。このような廃水を経環式浸漬法で処理する場合、次段の物理的效果によってコロイドに近い浮遊物質が液相中から沈降上に捕捉される。従って、一般的に沈降にかかった浮遊性物質を活性汚泥と有機質のコロイド状の浮遊物質と見做し、また、BOD, COD 等にかかった基質として浮遊性物質と溶解性の物質が含まれていると考へると  $l$  と  $S$  は次の (11), (12) 式で表すことができる。ここで、 $l$ : 基質濃度、 $l = l_s + l_c \dots (11)$ 、 $S = S_b + S_c \dots (12)$ 、 $l_s$ : 溶解性成分の基質濃度、 $l_c$ : 浮遊性物質成分の基質濃度、 $S$ : 沈降内の廃水に含まれる活性汚泥と生物でない浮遊性物質を沈降させて測定した MLSS 値、 $S_b$ : 沈降内全体の MLSS 中の活性汚泥濃度、 $S_c$ : 沈降内全体の MLSS 中の活性汚泥でない浮遊性物質濃度。次段効果と生物酸化の効果とを考慮して  $l$  と  $S$  についてバッチ式と連続式について物質収支をとり次の式を得る。

$$- \left( \frac{dl}{dt} \right)_{\text{bio}} = \frac{k \cdot l \cdot S_b}{k_s + l} \dots (13) \quad \left( \frac{dS_b}{dt} \right)_{\text{bio}} = -Y \left( \frac{dl}{dt} \right)_{\text{bio}} - b \cdot S_b \dots (14) \quad - \left( \frac{dl_c}{dt} \right)_{\text{sed}} = K_c \cdot l_c \dots (15)$$

$$V \cdot \left( \frac{dl}{dt} \right)_T = V \cdot \left( \frac{dl}{dt} \right)_{\text{bio}} + \theta \cdot l_i - \theta \cdot l + V \cdot \left( \frac{dl_c}{dt} \right)_{\text{sed}} \dots (16) \quad V \cdot \left( \frac{dS}{dt} \right)_T = V \cdot \left( \frac{dS_b}{dt} \right)_{\text{bio}} + Q \cdot S_i - Q \cdot S_c - V \cdot \left( \frac{dS_c}{dt} \right)_{\text{sed}} \dots (17)$$

ここで (13), (14), (15) はバッチ式のものを  $- (dl/dt)_{\text{bio}}$ 、生物酸化による変化速度、 $S_b$ : 沈降内の活性汚泥濃度、 $(dS_b/dt)_{\text{bio}}$ : 沈降内活性汚泥の変化速度、 $- (dl_c/dt)_{\text{sed}}$ : 次段効果による浮遊性物質の変化速度、 $S_i$ : 流入水中の浮遊性物質濃度。(17) 式の最後の項は次のように表わされる。次段中の基質として測定される浮遊性物質成分と液相中の MLSS 浮遊性物質濃度の比として次の式を考へる。(18)

$$\frac{l_c}{S_c} = \alpha \dots (18) \quad \frac{dl_c}{dt} = \tau \cdot \left( \frac{dS_c}{dt} \right) \dots (19) \quad \left( \frac{dS_c}{dt} \right)_{\text{sed}} = -K_c \cdot S_c \dots (20)$$

(19), (15) 式から (20) 式を得る。(12) 式において  $S_c = \alpha S$  とおくと  $S = 1 / (1 - \alpha) \cdot S_b$  となり、水が次の式 (21) を得る。 $V/Q = \tau$  とおいて前記の (6), (7) 式がこの場合に成立すると考へ式を導くと (21)

$$\left( \frac{dS}{dt} \right) = \frac{1}{1 - \alpha} \cdot \left( \frac{dS_b}{dt} \right) \dots (21) \quad \left( \frac{dl}{dt} \right)_T = \left( \frac{1}{\tau} + K_c \cdot \theta \right) \cdot l = \frac{1}{\tau} \left( \frac{S_i - S_c}{\tau} + K_c \cdot S_c \right) + \frac{l_i}{\tau} - \frac{1}{\tau} \{ \mu + b(1 - \alpha) \} \cdot S_c \cdot e^{-\mu t} \dots (22)$$

4), (15), (16), (17), (18), (19), (20), (21) 式から 1 階線型微分方程式 (22) を得る。この式を  $\tau =$

$$\frac{E(S_i - S_c + K_c \cdot S_c - \tau)}{S_0(1 - \alpha) \cdot D \cdot \tau} \cdot \frac{\rho}{\theta} + \frac{\mu}{1 - \alpha} = Y \cdot \frac{\{ (1 - \lambda_0 \cdot \tau) \cdot D \cdot \tau - \lambda_1 \cdot P \} \cdot E}{D \cdot \tau \cdot S_0 \cdot (1 - \alpha)} \cdot \frac{1}{\tau} - b \dots (23)$$

0 で  $l = l_0$  の条件で解くと (23) 式を得る。先んじ、 $D, E, P, Z, \tau$  は次の式で与えられる。

$$D = - (1/\tau + K_c \cdot \theta), E = \mu + 1/\tau + K_c \cdot \theta, P = 1 + \exp\{ (1/\tau + K_c \cdot \theta) \cdot \tau \}, Z = \exp\{ (1/\tau + K_c \cdot \theta) \cdot \tau \} - 1 \dots (24)$$

2-3. 係数の求め方について

$$\theta = \exp\{ (1/\tau + K_c \cdot \theta) \cdot \tau \} - \exp(\mu \cdot \tau)$$

2-3-1. 基質が溶解性の場合:  $K, K_s$  は (1) 式の両辺の直線をとって式 (Lineweaver-Burk) プロットの切片と傾きから求められる。 $Y$  と  $b$  は (9) 式の左辺を縦軸に右辺第 1 項の  $Y$  にかかった項を横軸に取った時の直線勾配と切片から求められる。 $K_c$  は定数から求められる。

2-3-2. 廃水が基質として溶解性のものと浮遊性の物質を含む場合:  $K, K_s$  はバッチ式において次段に及ぼす効果と生物酸化を合わせた基質除去の経時変化から次段効果による基質除去の経時変化を引いて求められる生物酸化による基質除去の経時変化に (13) 式の函数プロットを適用して求められる。 $Y, b$  は (9) 式と同様に求めることができる。

文献 1) 平山; 水処理技術, Vol. 24, No. 12, 1983